

PRETHODNO SAOPŠTENJE

G. Avramović-Cingara, I. Glavardanov\*

### ISTRAZIVANJE USLOVA I EFEKATA REKRISTALIZACIJE LIMA BUTAN BOCE

#### Rezime

*U radu je ispitivan kritičan stepen deformacije polasnog materijala za izradu butan boce (č 1216) i nadjeno je da iznosi 6%. Istim eksperimentalnim postupkom je definisano gde na samoj boci egzistira takav kritičan stepen, tj. gde u procesu rekristalizacije može doći do pojave izrazito velikog zrna. Ispitivan je i uticaj vremena rekristalizacije (za kritičan stepen deformacije 6% i temperaturu  $695 \pm 5^{\circ}\text{C}$ ) na pojavu velikog zrna.*

#### Summary

*The critical amount of deformation was examined in a steel sheet plate (č 1216) for production propan-butan cylinders. It was found that it is 6%. The same experimental procedure was used to find this critical amount of deformation on the cylinder, ie. the possibility of appearance of great grain size during the recrystallization process. It was examined the influence of time of recrystallization process to the appearance of great grain size for critical amount of deformation of 6% temperature of  $695 \pm 5^{\circ}\text{C}$ .*

#### 1.0. UVOD

U procesu dugokog izvlačenja lima butan boce dolazi do deformacionog ojačavanja. Polutka butan boce pretrpela je vrlo složen proces plastične deformacije i stoga poseduje neujednačenu teksturu. Žarenjem takvog metala u određenom temperaturnom opsegu, kristalna rešetka se vraća u normalno stanje i poprima svoje ranije osobine, tj. dolazi do procesa rekristalizacije.

\* ) Dr Gordana Avramović-Cingara, dipl.ing., docent; Glavardanov Ivan, dipl.ing., docent, Fakultet tehničkih nauka, Institut za proizvodno mašinstvo, 21000 Novi Sad, V.Perića-Valtera 2.

Cilj ovoga rada bio je da utvrdi pod kojim uslovima u deformaciono ojačanom materijalu butan boce dolazi do rekristalizacije. Ispitivanja su usmerena na definisanje kritičnog stepena deformacije, tj. stepena pri kome u toku rekristalizacije dolazi do naglog porasta zrna. Kritičan stepen deformacije definisan je prethodno na polaznom materijalu za izradu butan boce. Kvalitativnom metodom ukazano je u kom području boce postoji takav kritičan stepen deformacije, tj. gde se u toku rekristalizacionog žarenja može očekivati pojava izrazito velikog zrna. Veliko zrno, tj. nehomogena struktura nije povoljna osobina i proizvodne uslove, ili uslove repariranja treba birati tako da se ova pojava izbegne.

## 2.0. MATERIJAL

Hemijski sastav materijala od koga je napravljena butan boca dat je u tabeli 1.

T. 1.						
C%	Si%	Mn%	S%	P%	Cu%	Al%
0,07	0,03	0,40	0,02	0,047	0,08	0,019

Prema hemijskom sastavu može se konstatovati da ispitivani čelik po JUS-u najpribližnije odgovara Č 1216.

## 3.0. METALOGRAFSKO ISPITIVANJE TEKSTURE BUTAN BOCE

Butan boca se proizvodi postupkom dubokog izvlačenja i sastoji se od dve zavarene polutke. Polutka butan boce pretrpela je vrlo složen proces plastične deformacije, koji nije moguće opisati jednostavno metalografskom analizom. Međutim, u ovom radu, obzirom na cilj istraživanja, tekstura je ispitivana metalografski, da bi se dobila kvalitativna informacija o usmerenosti i veličini zrna polutke butan boce.

U tom smislu napravljeni su uporedni uzroci teksture polaznog materijala, koji su deformisani zatezanjem za poznati stepen deformacije. Stepen deformacije

$$\frac{1_1 - 1_0}{1_0} \cdot 100 \quad / \%$$

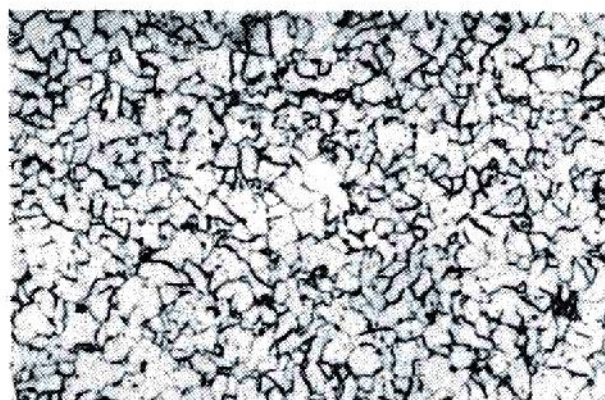
pri čemu je  $l_0$  - merna dužina uzorka a  $l_1$  - dužina posle deformacije. Struktura ovih uzoraka zatim je uporedjivana sa realnom teksturom polutke butan boce,

Uzorci su deformisani zatezanjem za sledeće stepene deformacije: 2,7%; 5,4%; 6,0%; 9,8%; 12,3%; 16,1%; 19,5%; 21% i 25,4%. Pri stepenu deformacije od 27,6% pojavljuju se prskotine.

Ispitivan je uzdužni i poprečni presek navedenih uzoraka. Na slikama 1 do 6 prikazana je mikrostruktura uzdužnog preseka jednog broja uzoraka deformisanih zatezanjem. Mikrostrukturu čine svetla zrna ferita sa karbidima po granicama zrna. Na nekim mestima na granicama zrna ima lamelarnog perlita. Analiza tekture ukazuje da se tek na procentu deformacije 12,3% zapaža slaba usmerenost zrna u uzdužnom pravcu. Ova usmerenost postaje izrazitija pri većim procentima deformacije.



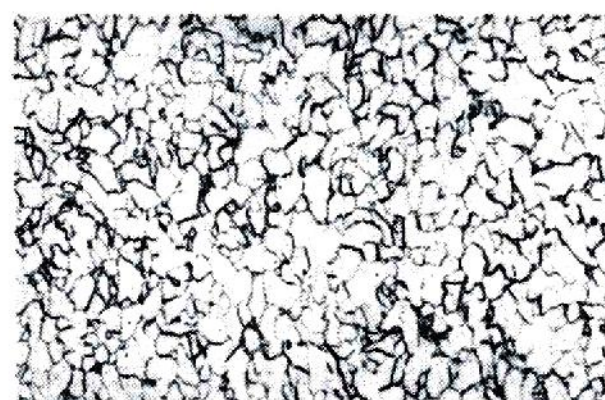
S1.1.  
Stepen deformacije 5,4%



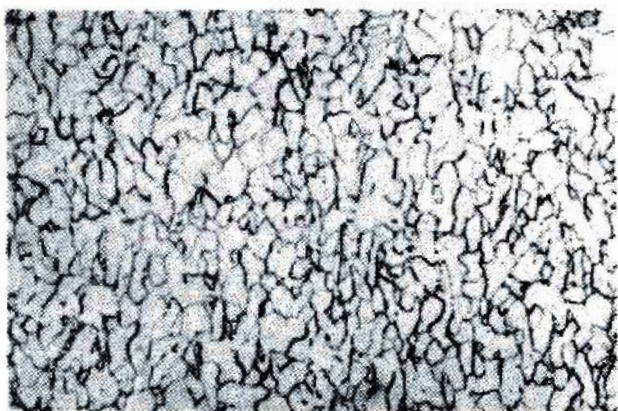
S1.2.  
Stepen deformacije 9,8%



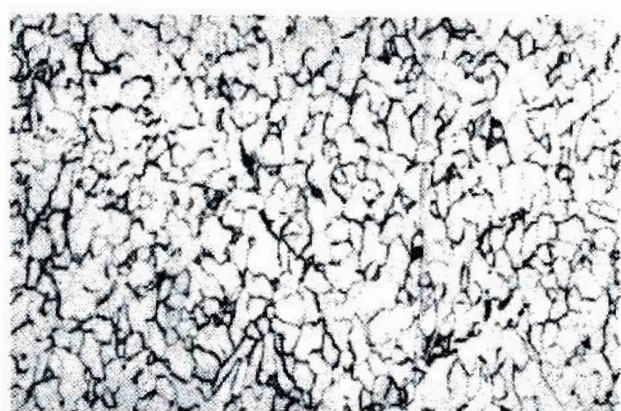
S1.3.  
Stepen deformacije 12,3%



S1.4.  
Stepen deformacije 19,5%

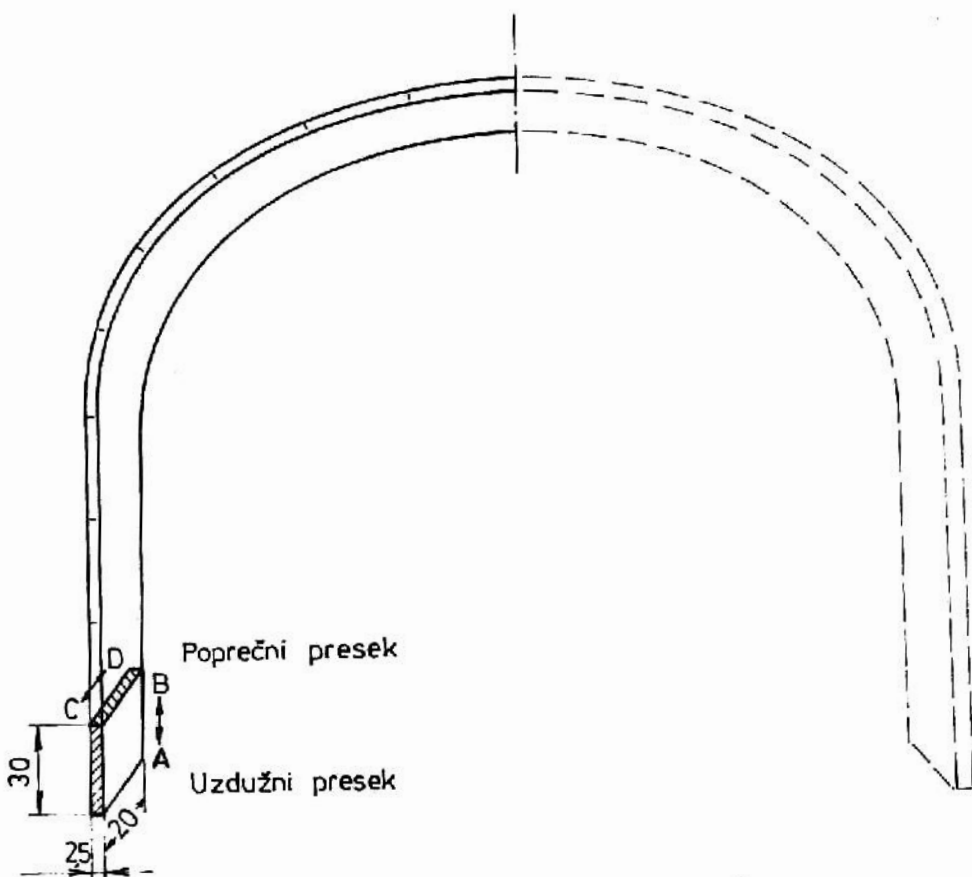


S1.5.  
Stepen deformacije 21%



200x S1.6.  
Stepen deformacije 27,6%

200x



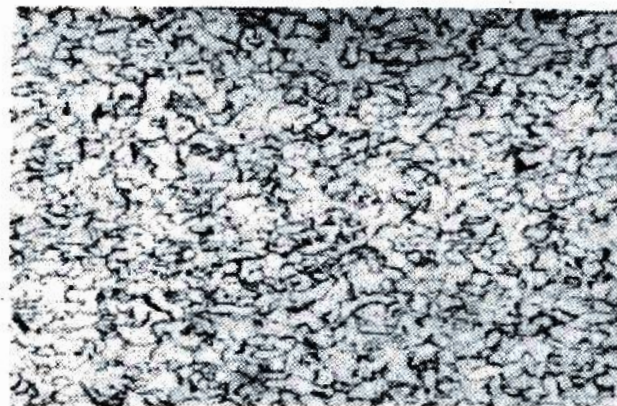
S1.7. Šematski prikaz polutke butan boce

Na šematskom prikazu polutke butan boce (s1.7.) označen je način uzimanja uzoraka. Uzorci su uzimani na svakih 30 mm, počev od polovine boce (mesto gde se zavaruje), idući ka dnu boce. Ispitivan je uzdužni i poprečni presek svakog uzorka.

Na slikama 8. i 9. prikazana je mikrostruktura uzdužnog i poprečnog preseka uzorka 1. U uzdužnom pravcu postoji neznatna usmerenost zrna. Slika 9. ukazuje na izrazitu usmerenost zrna u pravcu CD, tj. po debljini lima. Ova vrsta teksture ne može se direktno upoređivati sa zateznom, obzirom da se radi o mnogo kompleksnijoj vrsti plastične deformacije, no poredjenje sa slikom 6. ipak prikazuje da se radi o velikom stepenu plastične deformacije.

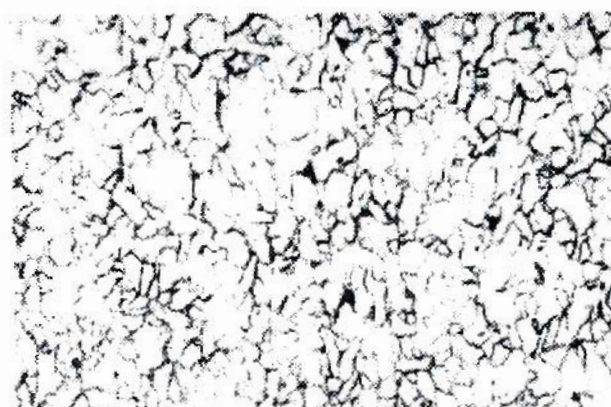


Slika 8. Uzdužni presek (200x)

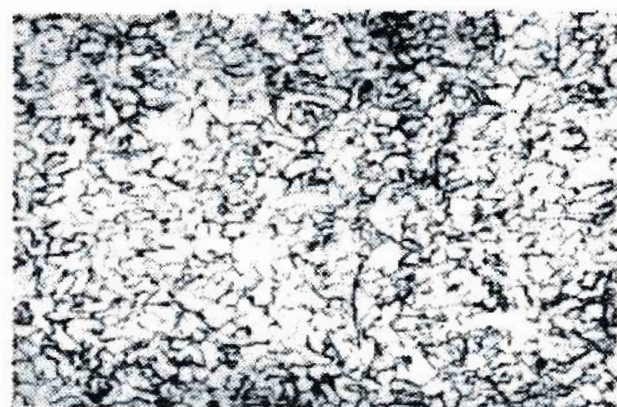


Slika 9. Poprečni presek (200x)

Uzorka 1.



Slika 10. Uzdužni presek (200x)



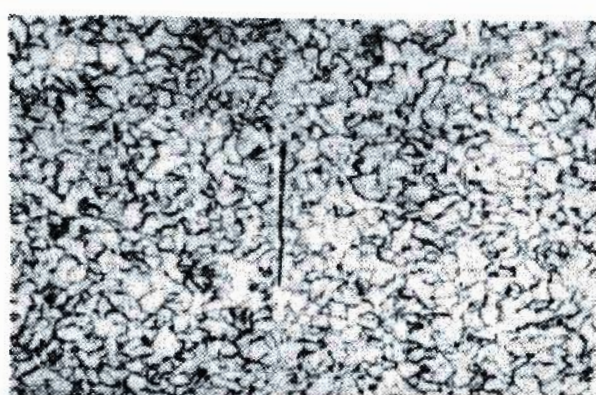
Slika 11. Poprečni presek (200x)

Uzorka 2.

Na slikama 10. i 11. data je mikrostruktura uzorka 2. Zrna su neznatno usmerena u pravcu AB. Izrazita je, međutim, usmerenost duž pravca CD, tj. po debljini lima.

Slike 12. i 13. pokazuju teksturu uzorka 3. Usmerenost zrna u ovom slučaju manja je od prethodna dva.

Kod uzorka 4. (slike 14. i 15.) zapaža se takođe neznatna



S1.12. Uzdužni presek (200x)

S1.13. Poprečni presek (200x)

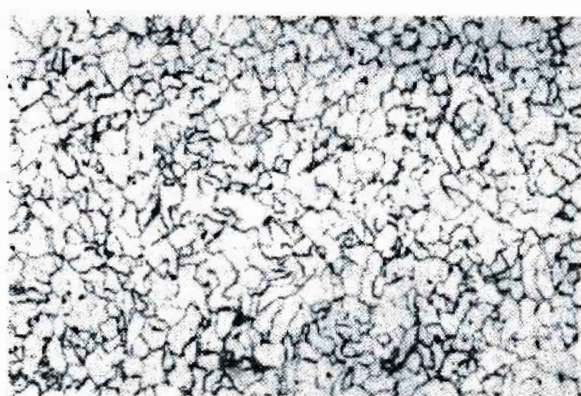
U z o r a k 3.



S1.14. Uzdužni presek (200x)

S1.15. Poprečni presek (200x)

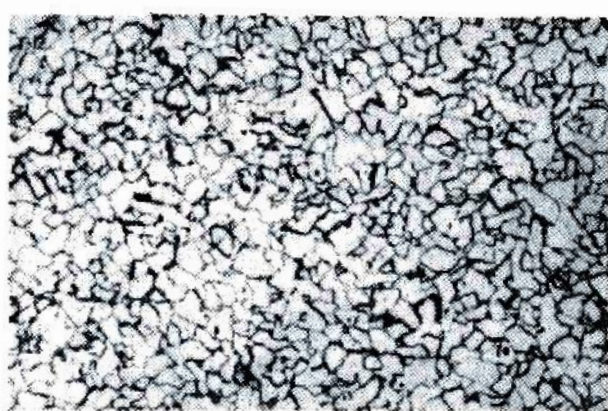
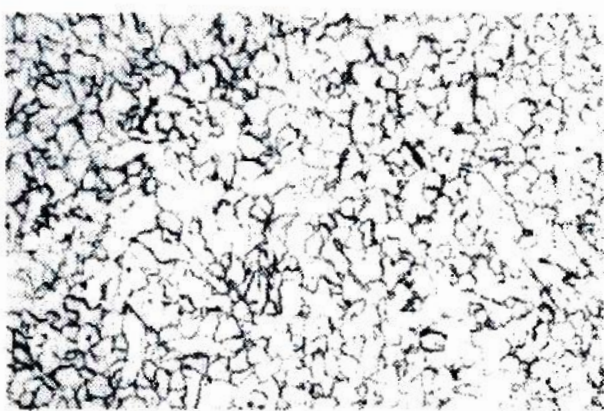
U z o r a k 4.



S1.16. Uzdužni presek (200x)

S1.17. Poprečni presek (200x)

U z o r a k 5.



S1.18. Uzdužni presek (200x)      S1.19. Poprečni presek (200x)  
Uzorak 6.

usmerenost zrna u uzdužnom, odnosno poprečnom pravcu. Mikrostruktura uzdužnog i poprečnog preseka uzorka 5. data je na slikama 16. i 17. Nema usmerene orientacije zrna.

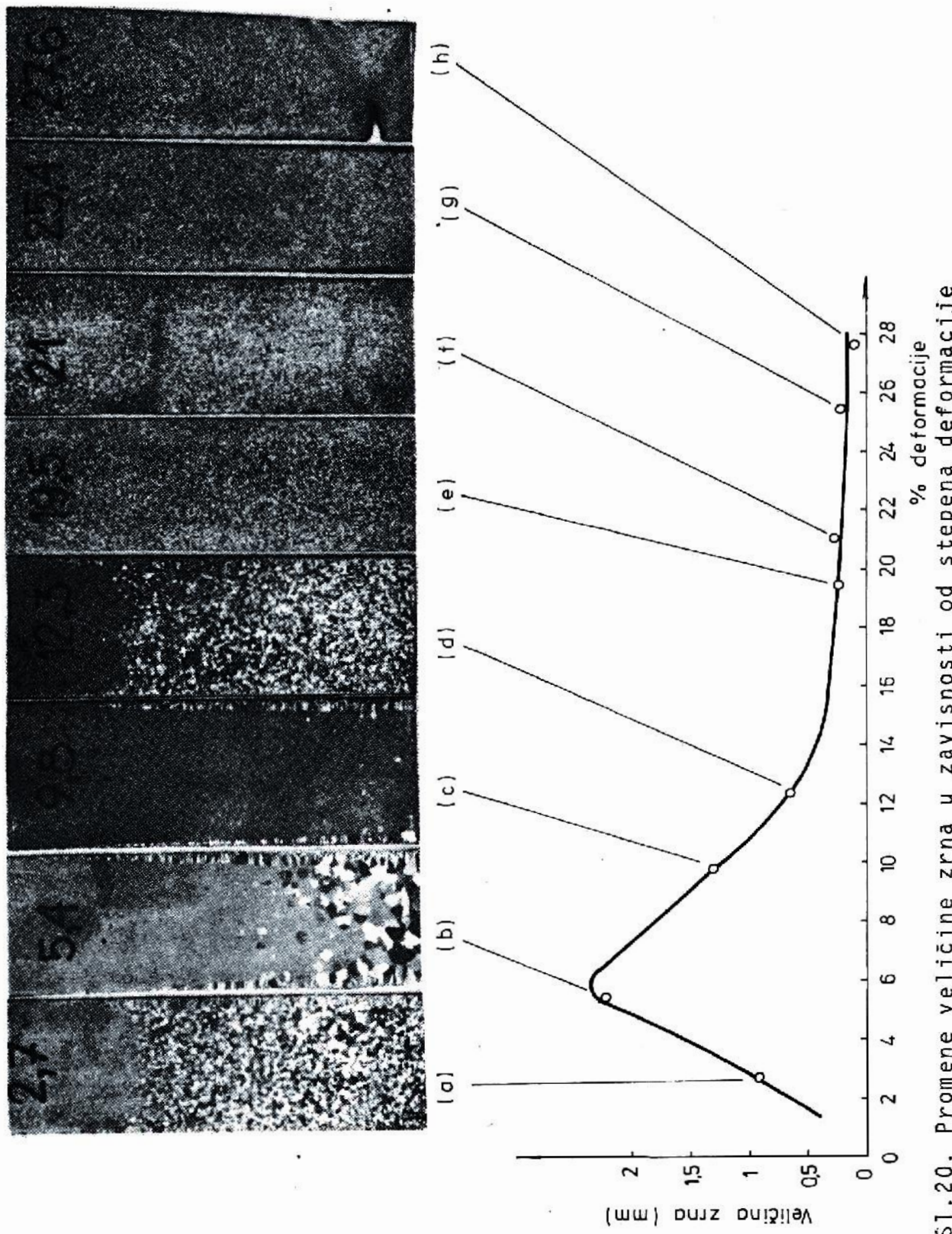
Analiza mikrostruktura uzdužnog i poprečnog preseka uzorka 6., 7., 8., 9. i 10. pokazala je da se na njima metalografski ne zapaža usmerenost zrna.

#### 4.0. ODREĐIVANJE KRITIČNOG STEPENA DEFORMACIJE

Vrednost kritičnog stepena deformacije, tj. iznalaženje uslova pri kome dolazi do naglog porasta zrna izvedeno je sledećim eksperimentalnim postupkom: Uzorci, (deformisani za različite stepene deformacije) mjerne dužine 100 mm potapani su određenom brzinom u soно kupatilo. Temperatura soli iznosila je  $695 \pm 5^{\circ}\text{C}$ . Na početku eksperimenta uzorci svojom donjom ivicom samo dodiruju površinu soli. Brzina potapanja uzorka iznosila je 0,42 mm/min, tako da je u toku od 4<sup>h</sup> merna dužina uzorka od 100 mm potpuno potopljena u so. Uzorci su zatim hladjeni na vazduhu. Makronagrizanje je izvedeno u 20% nitalu.

Primenjena eksperimentalna metoda predstavlja jedan od načina dobijanja monokristala.

Temperatura rekristalizacije za ovaj čelik, prema literaturnim podacima iznosi 500 do  $700^{\circ}\text{C}$ . Obzirom da je cilj ovoga rada bio definisanje uslova za dobijanje velikog zrna, izabrana je najviša



§1.20. Promene veličine zrna u zavisnosti od stepena deformacije

temperatura kupatila, u navedenom opsegu temperatura.

Prethodno je izvedeno određivanje kritičnog stepena deformacije polaznog materijala za izradu butan boce. Uzorci deformisani za napred navedene stepene deformacije (2,7%, 5,4%, 6,0%, 12,3%, 16,1%, 19,5%, 21% i 27,6%), čija je tekstura prikazana na slikama 1 do 6. potapani su u sono kupatilo po napred navedenom eksperimentu.

Ovaj termički tretman, kao što je već rečeno predstavlja jedan od načina dobijanja monokristala kod čistih metala gde je kinetika rekristalizacije drugačija. U ovom materijalu, obzirom na prisustvo legirajućih elemenata, nije dobijen monokristal, ali je za vrednost kritičnog stepena deformacije postignuta izrazita razlika u veličini zrna, što je i bio cilj eksperimenta.

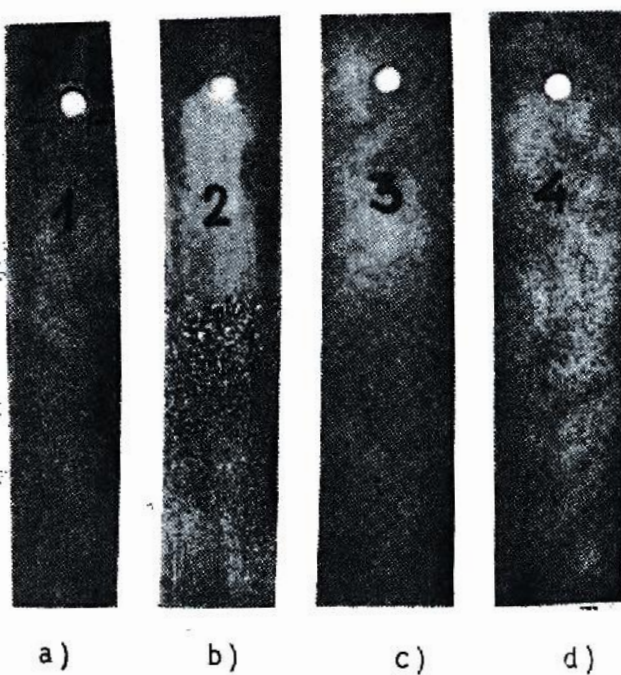
Ekstremno čisti metali poseduju veliku brzinu rekristalizacije. Dodatak malog procenta legirajućih elemenata povećava temperaturu rekristalizacije. Legirajući elementi smanjuju pokretljivost medjupovršina i utiču na brzinu rasta zrna i brzinu nukleacije. Ako se nečistoće smeštaju po granicama zrna, one deluju kao inhibitori za rast zrna.

Na slici 20. prikazan je dijagram promene veličine zrna u zavisnosti od stepena deformacije. Na slikama 20. (a,b,c,d,e,f,g,h) prikazana je makrostruktura uzorka polaznog lima butan boce na kojima je izведен postupak rekristalizacije. Analiza navedenih makro fotografija pokazuje da kritičan stepen deformacije iznosi u ovom slučaju oko 6% (sl.20.b).

Isti eksperiment koji je izveden sa uzorcima polaznog lima za izradu butan boca, ponovljen je na uzorcima koji su direktno isečeni iz boce. To su trake dimenzija 20x95mm, sečene duž polutke boce, po šemi na slici 7. Uzorci su označeni oznakama 1,2,3 i 4., (uzorak 1. je uz zavareni spoj). Ovi uzorci, kako je to kvalitativno analizirano u poglavljju 3. ovog rada, poseduju različite teksture.

Makrostruktura uzorka butan boce, posle potapanja u sono kupatilo brzinom 0,42 mm/min na temperaturi  $695 \pm 5^{\circ}\text{C}$ , prikazana je na sl.21 (a,b,c,d). Analiza navedenih mikrofotografija pokazuje da uzorak 21.b poseduje izvestan porast zrna u odnosu na ostale. To znači da se na polutki butan boce, na približno 13 cm od mesta zavarenog spoja može očekivati pojava kritičnog stepena deformacije. Ana-

Iz liza tekstura je pokazala da postoji usmerenost zrna po debljini lima. Predpostavljamo da je to razlog što se eksperimentom potapanja nije dobilo veće zrno. Dobijena informacija je kvalitativne prirode, a za detaljnije i preciznije informacije u ovoj oblasti treba nastaviti istraživanje.



S1.21. Makrostruktura uzorka butan boce posle rekristalizacije potapanjem

#### 5.0. VREME REKRISTALIZACIJE

U napred iznetim rezultatima nadjeno je da kritičan stepen deformacije za ispitivani čelik iznosi 5,5%, a usvojena je temperatura rekristalizacije  $695 \pm 5^{\circ}\text{C}$ .

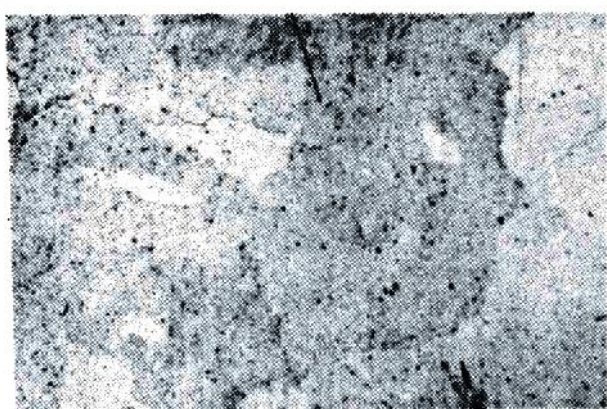
U ovom eksperimentu istraživan je uticaj vremena rekristalizacije na strukturu polaznog materijala za izradu butan boca. Uzorci deformisani za kritičan stepen deformacije (5,5 do 6%) žareni su izotermno u peći, bez zaštitne atmosfere, na  $695 \pm 5^{\circ}\text{C}$  za sledeća vremena: 24<sup>h</sup>, 9<sup>h</sup>, 7<sup>h</sup>, 5<sup>h</sup>, 2<sup>h</sup>, 30 min, 20 min i 10 min. Hladje-

nje je izvedeno na yazduhu.

Metalografskom analizom ispitivan je poprečni presek i površina svih uzoraka.

Na slici 22 (a i b) prikazana je mikrostruktura uzorka žarenog  $24^h$ . Pri ovom vremenu rekristalizacije dobijeno je izrazito veliko zrno po celom preseku, tj. sve je rekristalisano. Nema tragaova malih zrna.

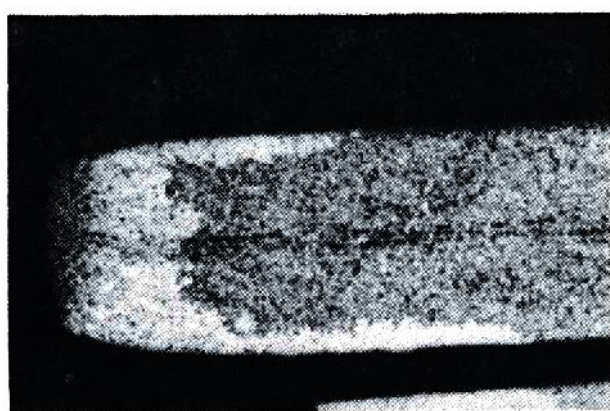
Na sl.23. data je mikrostruktura uzorka žarenog  $9^h$ . Nije postignuto veliko zrno po celom uzorku, već samo na njegovoj površini. Slika 23.b pokazuje da su mala zrna ostala nepromenjena, tj. ovde nema rekristalizacije.



S1.22.a Površina

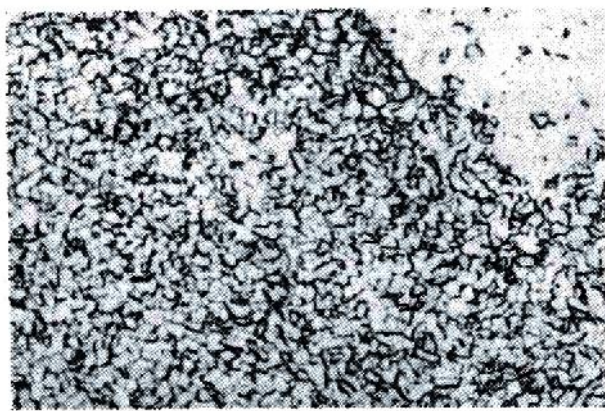
12x S1.22.b Poprečni presek

S1.22. Vreme rekristalizacije  $24^h$



S1.23.a Poprečni presek

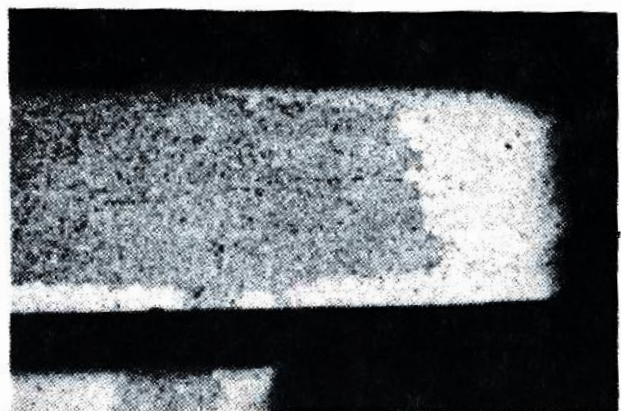
12x



S1.23.b Površina

100x

S1.23. Vreme rekristalizacije  $9^h$



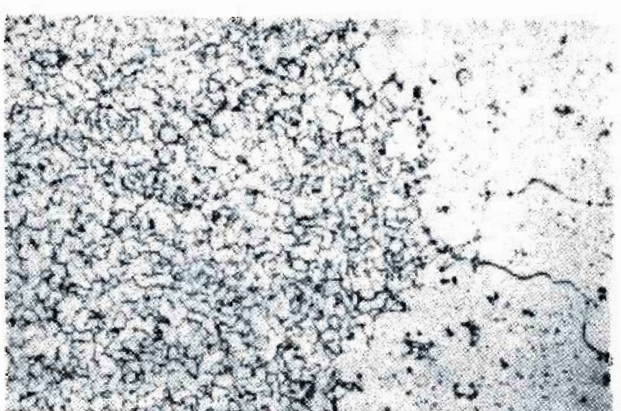
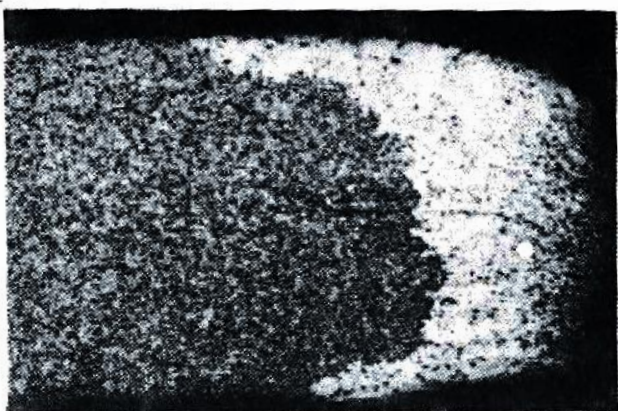
S1.24.a Površina

12x

S1.24.b Poprečni presek

12x

S1.24. Vreme rekristalizacije 5<sup>h</sup>



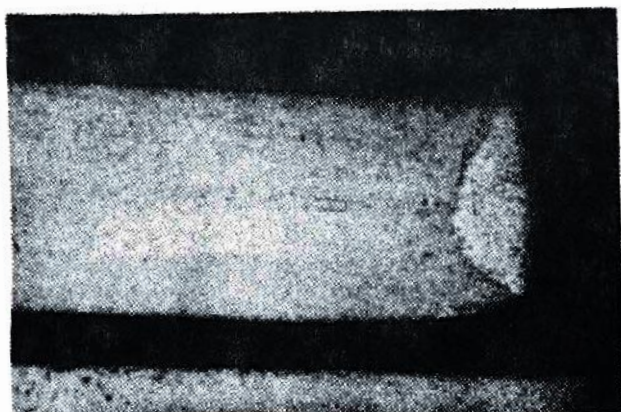
S1.25.a Površina

12x

S1.25.b Površina

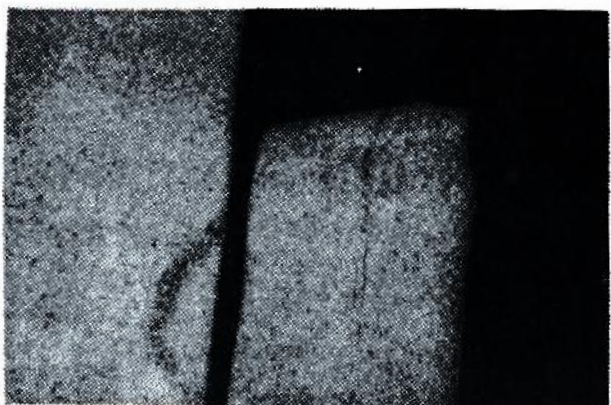
100x

S1.25. Vreme rekristalizacije 2<sup>h</sup>



S1.26. Vreme rekristalizacije  
30 min, poprečni presek(12x)

S1.27: Vreme rekristalizacije  
20 min, poprečni presek(12x)



Sl.28. Vreme rekristalizacije 10 min,  
poprečni presek (12x)

Površina uzorka posle rekristalizacije od 5<sup>h</sup> prikazana je na sl.24.a, a njegov poprečni presek na sl.24.b. Rast zrna počinje sa površine uzorka. Međutim, velika zrna se sreću i kao ostrva u sredini uzorka (sl.a).

Pri vremenu rekristalizacije od 2<sup>h</sup> manje od 1/3 površine uzorka je obuhvaćeno velikim rznima. Prostiru se na površini uzorka, ali ih ima i na sredini. Na sl.25.a prikazan je poprečni presek uzorka. Na sl.25.b data je mikrostruktura pod uvećanjem 100x.

Na sl.26. prikazana je mikrostruktura uzorka žarenog 30 min. Veliko zrno pojavljuje se i na površini uzorka žarenog 20 min. (sl. 27). Na sl.28. data je mikrostruktura uzorka žarenog 10 min. Ovde nema izrazite pojave velikog zrna, ali se uočavaju male nehomogenosti.

#### 5.0. ZAKLJUČAK

1. Kritičan stepen deformacije za ispitivani čelik iznosi oko 6%. (Ovaj stepen deformacije kod uzoraka butan boce egzistira negde u zoni na 12 do 14 cm od mesta zavarenog spoja. Na temperaturi rekristalizacije tu se najpre može očekivati lom materijala).

2. Kvalitativno, metalografsko ispitivanje teksture polutke butan boce ukazuje da je usmerenost zrna najveća u zoni dugačkoj 6 do 9 cm od mesta zavarenog spoja.

3. Za sva ispitivana vremena žarenja (20 min, 30 min, 2<sup>h</sup>, 5<sup>h</sup>, 7<sup>h</sup> i 9<sup>h</sup>) pojavljuje se u mikrostrukturi veliko zrno. Proces počinje

na površini uzorka. Za vreme rekristalizacije od  $24^h$  ceo uzorak se sastoji od velikih rezna (uzorci nisu ispitivani u zaštitnoj atmosferi).

4. Parametri rekristalizacije koji dovode do pojave velikog zrna, tj. nehomogene strukture nepovoljne po osobine butan boce su sledeći:

- temperatura  $695 \pm 5^0\text{C}$ ,
- kritičan stepen deformacije 6%,
- najkraće vreme žarenja 10 min.

Ovakve uslove treba izbegavati pri proizvodnji i reparaturi.

#### Literatura

- | 1 | J.D. Verhoeven: Fundamentals of Physical Metallurgy, New York (1975)
- | 2 | I.I. Novikov: Teoriya termičeskoj obrabotki metallov, Moskva, (1978)
- | 3 | E.Bickel: Die Metalischen Werkstoffe des Maschinenbaues, Berlin (1961)
- | 4 | R.Reed-Hill: Physical Metallurgy Principles, New York (1964).